

ДИФРАКЦИЯ ФРЕНЕЛЯ-КИРХГОФА НА ЩЕЛИ В ПРОВОДЯЩЕМ ЭКРАНЕ ПРИ СКОЛЬЗЯЩЕМ ПАДЕНИИ ВОЛН

Дагуров П.Н., Дмитриев А.В.

Отдел физических проблем при Президиуме Бурятского научного центра СО РАН
dpr@pres.bsnet.ru

В рамках метода Френеля – Кирхгофа решена задача дифракции электромагнитных волн на щели в проводящем экране при скользющем падении. Решение записано через известные специальные функции. Приведены результаты численного моделирования.

Введение. Задача о дифракции волн на щели, наряду с дополнительной к ней задачей дифракции волн на ленте, является классической дифракционной задачей, которая неизменно вызывает интерес исследователей. Это связано с тем, что данные задачи являются модельными,

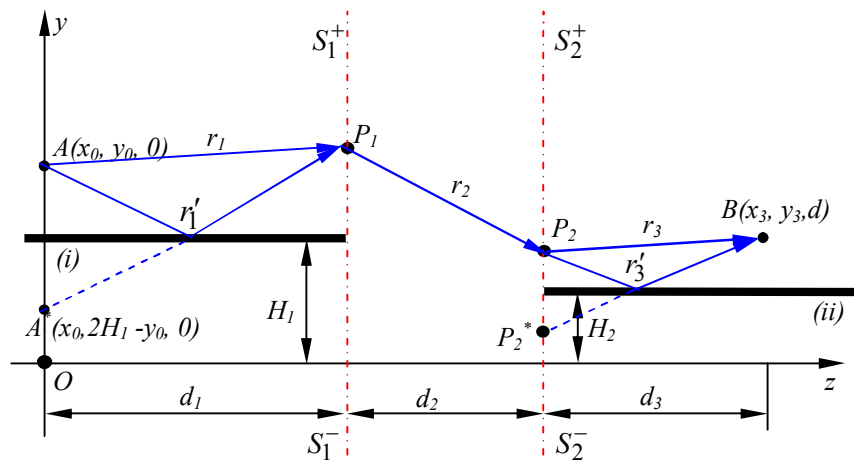


Рис. 1. Геометрия задачи

они имеют строгие решения и позволяют исследовать на своем примере различные новые подходы и методы решения подобных проблем.

Ранее, в работе [1] был предложен новый метод решения задачи дифракции электромагнитных волн на ленте для малых углов скольжения, которые ранее не охватывались теорией Кирхгофа в своем обычном виде. Метод основан на последовательном применении принципа Гюйенса – Френеля и использовании принципа зеркальных изображений с учетом поляризации волны.

Целью данной работы является применение данного метода для решения задачи дифракции на щели, образованной разнесенными в пространстве проводящими полуплоскостями.

Теория. Геометрия задачи показана на рис. 1. Две параллельные проводящие плоскости расположены на расстоянии d_2 друг от друга по горизонтали. Через H_1 обозначим расстояние от плоскости xOz до полуплоскости (i), образующей первый край щели, а через H_2 – аналогичное расстояние до полуплоскости (ii), образующей второй край щели. Общее расстояние между образующим равно $\Delta H = |H_1 - H_2|$.

По аналогии с [1] введем две дополнительные плоскости $S_1 = S_1^+ \cup S_1^-$ и $S_2 = S_2^+ \cup S_2^-$, содержащие виртуальные гюйгенсовы источники. Плоскости проходят через края образующих и перпендикулярно им. Тогда поле в точке B с учетом отраженной от полуплоскости (ii) волны можно записать в виде дифракционного интеграла Кирхгофа

$$U(B) = \frac{1}{i\lambda} \int_{S_2^{(p)}} U(P_2) \left(\frac{\exp(ikr_3)}{r_3} + \Phi \frac{\exp(ikr_3')}{r_3'} \right) dS_2.$$

Здесь r'_3 - путь, проходимый отраженной волной, Φ - коэффициент отражения. В качестве поверхности интегрирования $S_2^{(p)}$ выбирается либо S_2^+ , если точка B находится выше полуплоскости (ii) ($y_3 > H_2$), либо S_2^- в случае когда $y_3 < H_2$. Поле $U(P_2)$ в точке P_2 в свою очередь можно представить в виде

$$U(P_2) = \frac{1}{i\lambda} \int_{S_1^{(p)}} U(P_1) \frac{\exp(ikr_2)}{r_2} dS_1,$$

где поле в точке P_1 определяется суммой прямой и отраженной от полуплоскости (ii) волн

$$U(P_1) = \frac{\exp(ikr_1)}{r_1} + \Phi \frac{\exp(ikr'_1)}{r'_1},$$

а $S_1^{(p)}$ также зависит от того, где находится источник – выше или ниже образующей (i). Собирая эти выражения в одно, получим

$$U(B) = \frac{1}{(i\lambda)^2} \int_{S_1^{(p)}} \int_{S_2^{(p)}} (1 + \Phi \cdot \exp(ik\Delta r_1)) \cdot (1 + \Phi \cdot \exp(ik\Delta r_3)) \frac{\exp(ik(r_1 + r_2 + r_3))}{r_1 \cdot r_2 \cdot r_3} dS_1 dS_2, \quad (1)$$

где $\Delta r_1 = r'_1 - r_1$, $\Delta r_3 = r'_3 - r_3$, а в знаменателе положено $r'_1 \approx r_1$ и $r'_3 \approx r_3$. Как видно из формулы (1) положение источника и приемника определяет, по каким поверхностям будет производиться интегрирование. Пусть источник и приемник находятся выше образующих щели (т.е. $y_0 > H_1$, $y_3 > H_2$). В такой ситуации в точку наблюдения B не попадают волны, переизлученные гюйгенсовыми источниками области S_2^- , а поверхность S_1^- остается в тени образующей кромки (i) щели. Используя приближение Френеля, и вычисляя поверхностные интегралы в (1), после ряда упрощений поле в приёмной точке в данном случае можно записать в виде

$$U(B) = U_0(W_1 + \Phi \cdot W_2), \quad (2)$$

где

$$W_1 = \frac{1}{2\pi} \left\{ P(h_1 - h_A^+, h_2 - h_B^+, \beta) + \exp\left(i \frac{2k}{d} (H_1 - H_2)(H_1 - H_2 + y_3 - y_0)\right) \cdot P(h'_1 - \beta h_2'' + h_A^+, h'_2 - \beta h_1'' + h_B^+, \beta) \right\} \quad (3)$$

$$W_2 = \frac{\exp\left(i \frac{2k}{d} y_0 y_3\right)}{2\pi} \left\{ \exp(i\varphi_1) \cdot P(h_1 - h_A^-, h_2 - \beta h_1'' - h_B^-, \beta) + \exp(i\varphi_2) \cdot P(h_1 - \beta h_2'' - h_A^-, h_2 - h_B^-, \beta) \right\} \quad (4)$$

U_0 – поле в точке приёма в отсутствии щели,

$$\varphi_1 = \frac{2k}{d} H_1 (H_1 - y_0 - y_3), \varphi_2 = \frac{2k}{d} H_2 (H_2 - y_0 - y_3);$$

$$\beta = \sqrt{\frac{d_1 d_3}{(d_1 + d_2)(d_2 + d_3)}} < 1; b_j = \sqrt{\frac{\lambda d_j d_{j+1}}{d_j + d_{j+1}}}, j=1,2.$$

$$h'_1 = \frac{\sqrt{\pi} H_1}{b_1 d} (d_1 - d_2 - d_3), h''_1 = \frac{2\sqrt{\pi} H_1}{b_1 d} (d_2 + d_3); h'_2 = \frac{\sqrt{\pi} H_2}{b_2 d} (d_3 - d_1 - d_2), h''_2 = \frac{2\sqrt{\pi} H_2}{b_2 d} (d_1 + d_2).$$

$$h_1 = \sqrt{\pi} H_1 / b_1; h_2 = \sqrt{\pi} H_2 / b_2; d = d_1 + d_2 + d_3;$$

$$h_A^\pm = \frac{\sqrt{\pi}}{b_1} \cdot \frac{\pm y_0 (d_2 + d_3) + y_3 d_1}{d}; h_B^\pm = \frac{\sqrt{\pi}}{b_2} \cdot \frac{\pm y_0 d_3 + y_3 (d_1 + d_2)}{d}.$$

$$P(x, y, \beta) = -2i \cdot \sqrt{1 - \beta^2} \int_x^\infty \int_y^\infty \exp\left(i \cdot [t_1^2 - 2\beta t_1 t_2 + t_2^2]\right) dt_1 dt_2$$

Как показано в работе [2] для $x, y > 0$, $|\beta| < 1$ функцию $P(x, y, \beta)$ можно представить в виде

$$P(x, y, \beta) = G(x - \beta y, \sqrt{1 - \beta^2} y) + G(y - \beta x, \sqrt{1 - \beta^2} x),$$

где $G(z, \alpha) = \alpha \int_z^\infty \exp(i \cdot [t^2 + \alpha^2]) / [t^2 + \alpha^2] dt$ - обобщенный интеграл Френеля.

Можно показать, что если точка B находится ниже полуплоскости, образующей второй край щели (т.е. $y_3 < H_2$), то в выражениях (3) и (4) вторые аргументы функций $P(\dots)$ меняют знак. Аналогично, если $y_0 < H_1$, то меняют знак первые аргументы. Таким образом, формула (2) с учетом сделанных замечаний позволяет полностью описать дифракцию волн на щели при любом положении источника и приемника. Также следует отметить, что полученное решение удовлетворяет принципу взаимности.

Анализ полученного решения и численные результаты. Рассмотрим выражение (2). Предположим, что образующие щели лежат в плоскости xOz , т.е. $H_1 = H_2 = 0$. Тогда, с учётом свойств функции $P(\dots)$

$$U(B) = U_0 \{W_1 + \Phi \cdot W_2 \exp(i2ky_0 y_3 / d)\}, \quad (5)$$

где

$$W_1 = 1 - \frac{1}{\sqrt{\pi i}} \left[F(h_A^+ \sqrt{1 - \beta_1^2}) + F(h_B^+ \sqrt{1 - \beta_1^2}) \right] + \frac{1}{\pi} \left[G(h_A, h_B^+ \sqrt{1 - \beta_1^2}) + G(h_B, h_A^+ \sqrt{1 - \beta_1^2}) \right], \quad (6)$$

$$W_2 = \frac{1}{\sqrt{\pi i}} \left[F(h_A^- \sqrt{1 - \beta_1^2}) + F(h_B^- \sqrt{1 - \beta_1^2}) \right] - \frac{1}{\pi} \left[G(h_A, h_B^- \sqrt{1 - \beta_1^2}) + G(h_B, h_A^- \sqrt{1 - \beta_1^2}) \right], \quad (7)$$

$$h_A = y_0 \sqrt{\frac{\pi d_2}{\lambda d_1 (d_1 + d_2)}}; h_B = y_3 \sqrt{\frac{\pi d_2}{\lambda d_3 (d_2 + d_3)}}.$$

Слагаемое W_1 описывает волны, попадающие в точку наблюдения без отражения и волны, отраженные от каждой образующей полуплоскости. Так, единица, входящая в выражение (6)

описывает прямую геометрооптическую волну, интегралы Френеля $F(x) = \int_x^\infty \exp(it^2) dt$

описывают однократно дифрагировавшие волны на каждой из образующих, обобщенные интегралы Френеля – волны, дифрагировавшие на обоих краях щели. Выражение для W_2 , описывающее однократно отраженные волны, имеет аналогичный вид.

Анализ формулы (5) показывает, что в предельном случае $d_2 = 0$ и $H_1 = H_2 = 0$, т.е. когда щель отсутствует (идеально проводящая плоскость)

$$U(B) = U_0 (1 + \Phi \exp(ik\Delta r)),$$

где Δr – разность хода между прямой и отраженной от плоскости волнами. Таким образом, (5) и соответственно (2), правильно описывают поле в отсутствие щели, хотя вывод формул базировался на предположении, что $d_2 \gg \lambda$.

Если положить $y_0 = y_3 = 0$ ($H_1 = H_2 = 0$), то

$$U(B) = U_0 (1 + \Phi) \left(1 - \frac{1}{\pi} \operatorname{arctg} \sqrt{\frac{d_2 d}{d_1 d_3}} \right).$$

В случае поляризации излучения параллельно краям щели ($\Phi = -1$), поле в точке наблюдения равно нулю.

Рассмотрим примеры численного моделирования рассеяния волн на щели в бесконечном проводящем экране, основанного на выражении (5). На рис. 2, 3 показана пространственная зависимость величины ослабления $V = 20 \cdot \lg |U(B)/U_0|$, дБ в плоскости yOz за щелью для различной поляризации падающего излучения. При расчетах полагалось, что образующие щели лежат в плоскости xOz (т.е. $H_1 = H_2 = 0$), расстояние от источника до первого края щели d_1 составляло 10λ , ширина щели d_2 равнялась 5λ .

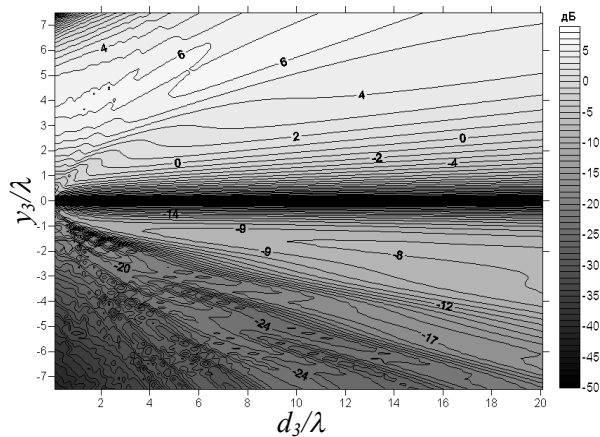


Рис. 2. Множитель ослабления за щелью на горизонтальной поляризации, $x_0=0$; $y_0=1\lambda$;

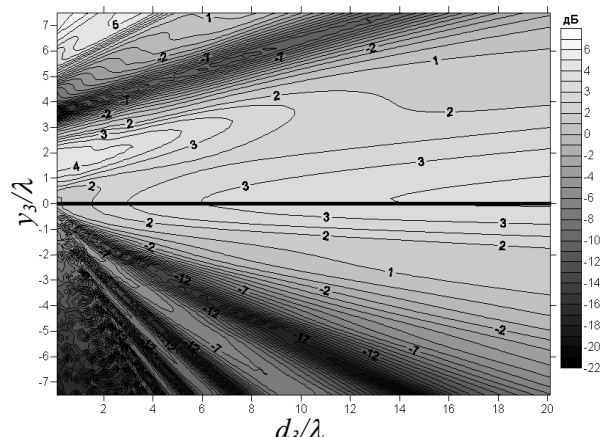


Рис. 3. Множитель ослабления за щелью на вертикальной поляризации. $x_0=0$; $y_0=1\lambda$.

Численное моделирование показало, что в случае горизонтальной поляризации излучения ($\Phi = -1$), щель оказывает значительное ослабление поля при низко расположенном источнике. С увеличением высоты уровень поля растет за счёт отражений от образующих щели. На вертикальной поляризации (рис. 3) наблюдается обратная ситуация: чем ниже источник, тем выше уровень поля.

Т.о., в работе в рамках теории дифракции Френеля-Кирхгофа решена задача дифракции электромагнитных волн на щели в проводящем экране. Полученное решение удовлетворяет принципу взаимности, выражается через известные специальные функции теории дифракции и в частных случаях совпадает с известными результатами. Представлены результаты численного моделирования, показывающие зависимость дифракционного поля от различных параметров задачи.

ЛИТЕРАТУРА

1. Дагуров П.Н., Дмитриев А.В. Применение метода Кирхгофа к задаче дифракции волн на ленте при малых углах скольжения. // Письма в ЖТФ. 2005. Т.31. № 19. С. 22-27.
2. Каратыгин В.А., Розов В.А. Метод стационарной фазы для двойного интеграла с произвольно расположенной точкой стационарной фазы // Журнал вычислительной математики и мат. физики.- 1972.- Т.12, №6.- С.1381-1405.